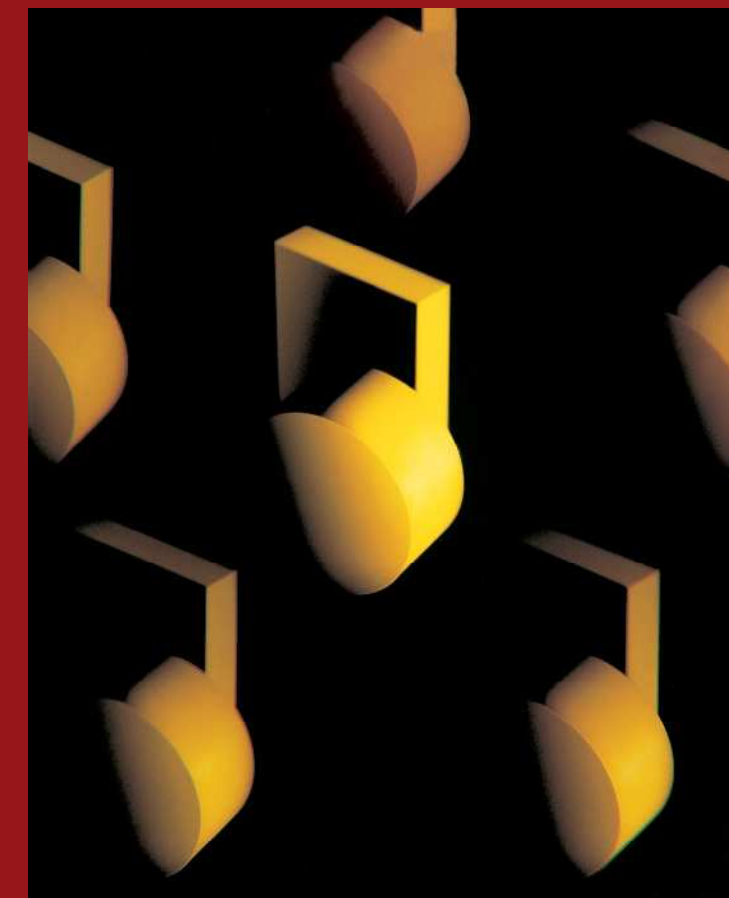


超耐熱ポリイミド成形体
Polyimide Shape

セプラ SA

CEPLa SA
SERIES

SA101/SA201/SA101D



記載内容の取扱い

記載内容は現時点で入手できた資料、情報、データ等にもとづいて作成しておりますが、含有量、物理化学的性質、危険・有害性等に関しては、いかなる保証をなすものではありません。また、注意事項は通常の取扱いを対象としたもので特別な取扱いの場合には、用途・用法に適した安全対策を実施の上、ご利用ください。

Statement Content

The statement content is based materials, data and information currently available and no guarantee is made with regard to content, physical properties or hazards and harmful effects. Furthermore, as handling precautions relate to normal handling, in case of special handling, safety measures appropriate to the application and its method should be taken.



総発売元

鈴幸商事株式会社

本社 〒222-0033 横浜市港北区新横浜2丁目7番17号 KAKIYA ビル7階
TEL:045-478-1151 FAX:045-478-1105

DISTRIBUTOR

SUZUKO CORPORATION

KAKIYA Bldg, 7th Floor 2-7-17 Shin-yokohama, Kouhoku-ku,
Yokohama 222-0033 Japan
TEL:045-478-1151 FAX:045-478-1105



製造元

新日産ダイヤモンド工業株式会社

本社・工場 〒236-0002 横浜市金沢区鳥浜町2-30
TEL:045-771-3455 FAX:045-775-0675

MANUFACTURE

SHIN-NISSAN DIAMOND TOOLS MFG. CO., LTD.

2-30 Torihama-cho, Kanazawa-ku, Yokohama 236-0002 Japan
TEL:045-771-3455 FAX:045-775-0675

鈴幸商事株式会社
SUZUKO CORPORATION

CEPLA® SA101

セプラ® SA101は当社独自のビフェニルテトラカルボン酸二無水物(BPDA)をベースにした全く新しいタイプの超高純度ポリイミド成形体です。

低温から高温まで、広い範囲で優れた特性を維持する樹脂です。

従来のポリイミド成形体に比較して、耐熱性、酸素プラズマ耐久性、アウトガス特性、切削加工性および吸水性を大幅に改善しました。有機材料の中で最高の熱変形温度(470°C)を達成しました。

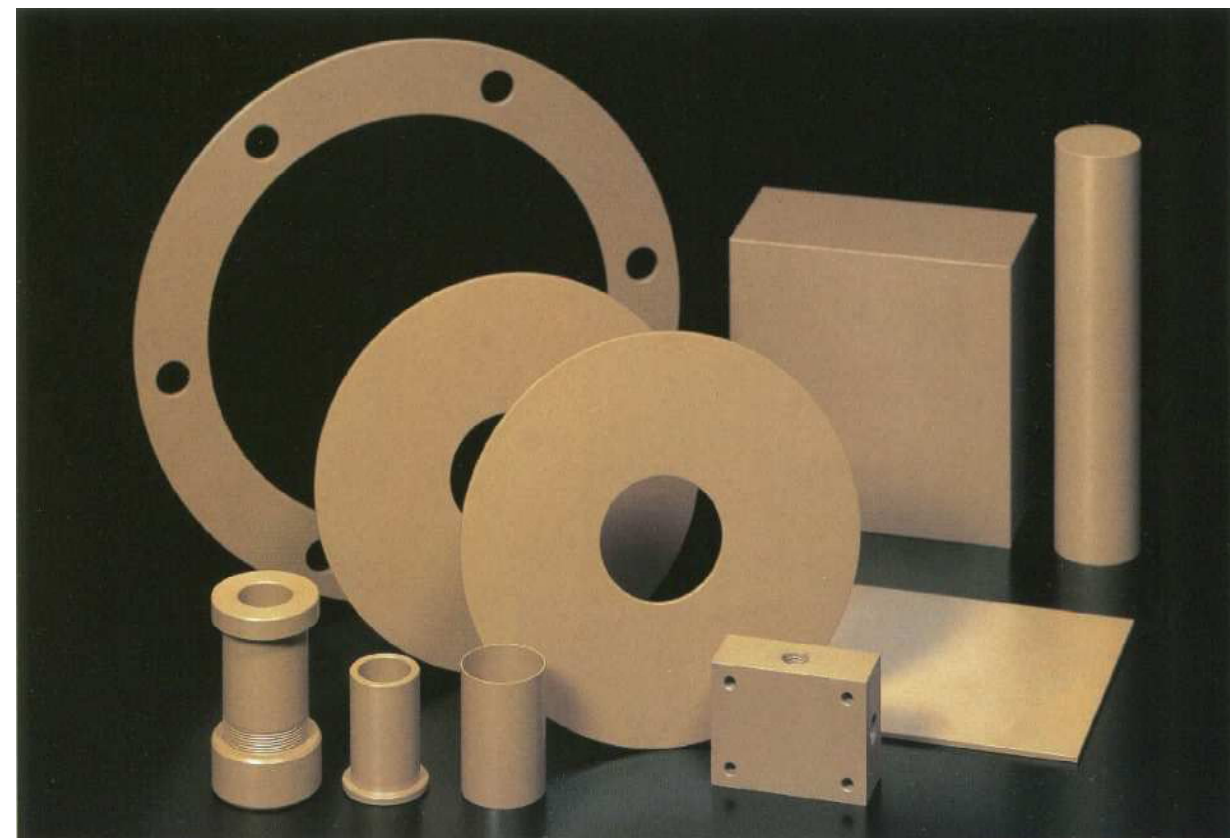
CEPLA® SA101 is an excellent heat-resistant polyimide shape, based on Biphenyl tetracarboxylic dianhydride(BPDA) originally developed. CEPLA® SA101 has improved high durability for oxygen plasma, vacuum degassing properties, low water absorption and good processability. Heat distortion temperature is 470°C, which is higher value than any other organic materials.

用途 Application

- (1) 半導体製造装置部品 [クランプリング等]
Semiconductor production equipment parts
- (2) 真空装置用部材 [真空ピンセット、コレット、軸受け、ベアリング等]
Vacuum equipment parts
- (3) 精密加工品 [ボルト、ナット、ギヤ等]
Precisely processed parts
- (4) 各種機構部品 [耐熱、耐薬品性ガスケット、シールリング、バックアップリング等]
Heat and chemical resistant gaskets and sealing materials

特徴 Features

- | | |
|--|------------------------------------|
| (1) 超耐熱性(熱変形温度 470°C) Super high heat resistance (Heat distortion temperature: 470°C) | (4) 切削加工性良好 Good processability |
| (2) 酸素プラズマ耐性に優れる Excellent plasma resistance | (5) 低不純物濃度 Very low impurities |
| (3) 低アウトガス Low out gas | (6) 低吸水性 Low water absorption |



セプラ® SA101の特性 Properties of CEPLA® SA101

| 項目 Item | 測定方法 Test Method | 単位 Unit | 測定温度 Temperature Measurement | 測定値 Typical Value | | |
|---|-------------------------|----------------------------|---------------------------------|--------------------------|---|---|
| | | | | セプラ SA101 CEPLA SA101 | 従来型ポリイミド ^{a)} Conventional Polyimides | ポリベンゾイミダゾール ^{a)} Polybenzimidazol |
| 引張り強さ Tensile Strength | ASTM D-638 | MPa | 23 | 110 | 72 | 160 |
| | | | 260 | 47 | 37 | — |
| 伸び Elongation | ASTM D-638 | % | 23 | 4.0 | 7.5 | 3.0 |
| | | | 260 | 3.0 | 7.5 | — |
| 曲げ強さ Flexural Strength | ASTM D-790 | MPa | 23 | 135 | 83 | 220 |
| | | | 260 | 51 | 45 | — |
| 曲げ弾性率 Flexural Modulus | ASTM D-790 | Gpa | 23 | 7.5 | 2.5 | 6.6 |
| | | | 260 | 3.6 | 1.4 | — |
| Izod 衝撃強さ(ノッチ付) Izod Impact Strength (Noched) | ASTM D-256 | J/min | 23 | 20 | 44.4 | — |
| ロックウエル硬度 Rockwell Hardness | ASTM D-785 | M-スケール M Scale | 23 | 115 | — | — |
| 比重 Specific Gravity | ASTM D-792 | — | 23 | 1.48 | 1.43 | — |
| 絶縁耐力 Breakdown Voltage | ASTM D-149 | kV/mm | 23 | 22.7 | 22 | 20.9 |
| 誘電率(1MHz) Dielectric Constant | ASTM D-150 | — | 23 | 3.70 | 3.64 | 3.3 ^{d)} |
| 誘電正接(1MHz) Dissipation Factor | ASTM D-150 | — | 23 | 0.0013 | 0.0034 | 0.003 ^{d)} |
| 体積固有抵抗 volume Resistivity | ASTM D-257 | Ω・cm | 23 | 1.9×10 ¹⁶ | 10 ¹⁴ ~10 ¹⁵ | 8×10 ¹⁴ |
| 表面抵抗率 Surface Resistivity | ASTM D-257 | Ω | 23 | 8.5×10 ¹⁶ | 10 ¹⁵ ~10 ¹⁶ | — |
| 耐アーク性 Arc resistance | ASTM D-495 | 秒 sec. | 23 | 135 | — | 186 |
| 線膨張係数 Coefficient of Linear Thermal Expansion | ASTM D-233 | ppm/°C | — | 35 (25~450°C) | 54 (23~300°C) | 33 (200~300°C) |
| 熱伝導率 Thermal Conductivity | | kcal/m・h°C | 23 | 0.35 | 0.35 | 0.35 |
| 10%重量減少温度 10% Weight Loss temp. | | °C | — | 623 | — | — |
| 熱変形温度(18.56kg/cm ²) heat Distortion temp. | ASTM D-648 | °C | — | 470 | 360 | 435 |
| テーバー摩耗 Tabar Abrasion Loss | ASTM D-1044 | mg/1,000回 | — | 20 | — | — |
| 限界PV値 Limiting PV Value | S45C | kgf/cm ² ・m/min | — | 2,160 (0.1m/sec) | — | — |
| O ₂ プラズマ耐性 ^{d)} Durability for O ₂ Plasma | エッチング速度 Etching Rate | μg/cm ² ・h | 145~150 | 6.6 | 9.2 | — |
| 真空中ガス放出特性 ^{d)} Vacuum degassing | TDS Analysis | Torr・l/sec・cm ² | 200 | 5.5×10 ⁻⁴ | 2.0×10 ⁻³ | — |
| | | | 300 | 7.6×10 ⁻⁴ | 3.2×10 ⁻³ | — |
| 吸水率 Water Absorption | ASTM D-570 | % (23°C×24h) | 23 | 0.03 | 0.24 | 0.4 |

a) カタログ値、Catalogue value.

b) 1KHzにおける測定値、The values are measured at 1KHz.

c) 10KHzにおける測定値、The values are measured at 10KHz.

d) 当社においてセプラ SA101 と同一条件下に測定した値です。

These values are measured under same condition as CEPLA SA101.

1. 応力～歪み曲線 Stress-strain curve

代表的な応力～歪み曲線を図-1に示します。
Typical stress-strain curve is shown in Fig. 1.

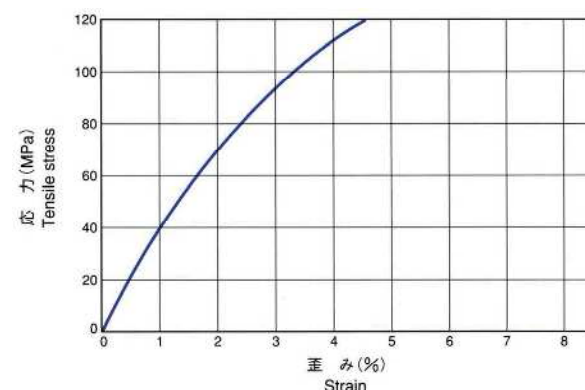


図-1 引張り応力～歪み曲線
Fig. 1 Tensile stress - Strain curve

2. 機械特性の温度依存性 Dependence of mechanical properties on temperature

(1) 引張り強さ Tensile strength

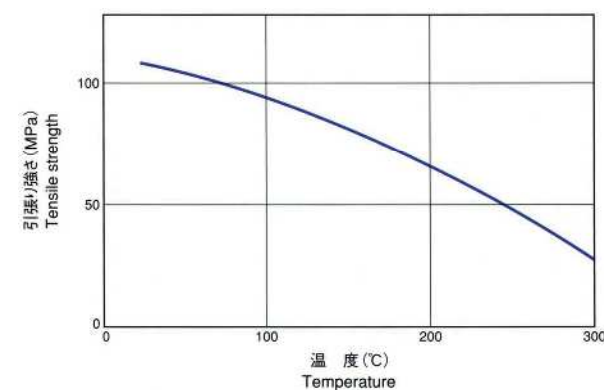


図-2 引張り強さの温度変化
Fig. 2 Tensile strength vs Temperature

(2) 曲げ強さ Flexural strength

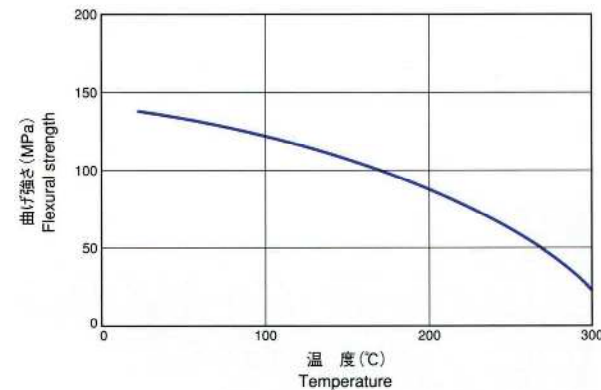


図-3 曲げ強さの温度変化
Fig. 3 Flexural strength vs Temperature

(3) 曲げ弾性率 Flexural modulus

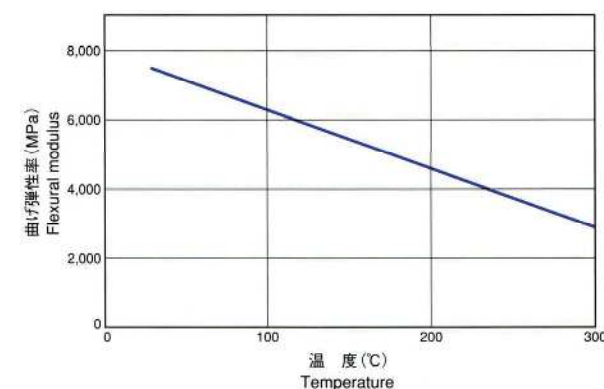


図-4 曲げ弾性率の温度変化
Fig. 4 Flexural modulus vs Temperature

3. 熱分解分析 Thermal decomposition analysis

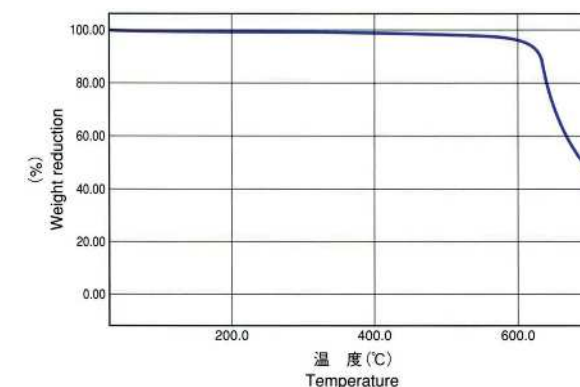


図-5 熱分解曲線(空气中)
Fig. 5 Thermal decomposition curve in air

4. 熱変形温度 Heat distortion curve

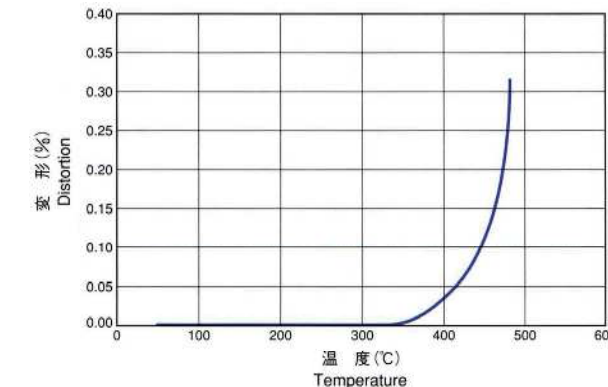


図-6 熱変形曲線
Fig. 6 Heat distortion curve

5. 耐熱劣化 Resistance to thermal degradation

(1) 引張り強さ Tensile strength

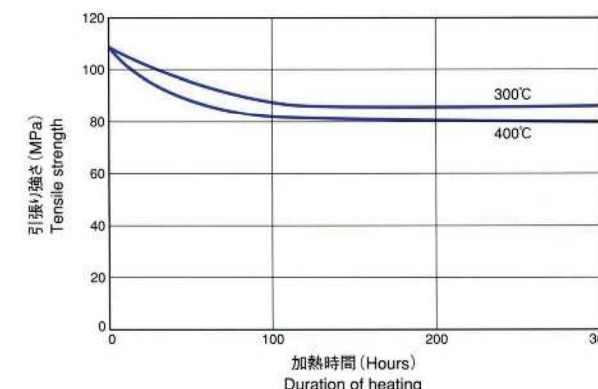


図-7 引張り強さの耐熱劣化性
Fig. 7 Thermal degradation in Tensile strength

(2) 伸び Elongation

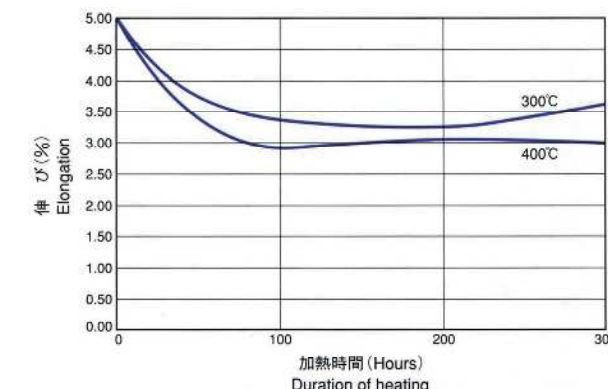


図-8 伸びの耐熱劣化性
Fig. 8 Thermal degradation in Elongation

6. 耐薬品性 Chemical resistance

| 薬品名 Chemicals | 外観 Evaluation | 重量増加(%) Weight increase | 試験条件 Test condition |
|---------------------------------|----------------|-------------------------|---------------------------------------|
| トルエン Toluene | 異常なし No change | +0.9 | 23°C×500hrs浸漬 23°C×500hrs immersed |
| エタノール Ethanol | 異常なし No change | +0.2 | |
| ジエチルケトン Diethyl ketone | 異常なし No change | +0.3 | |
| パークロルエチレン Perchloroethylene | 異常なし No change | +0.6 | |
| オクタジクロルベンゼン Octadichlorobenzene | 異常なし No change | +1.0 | |
| m-クレゾール m-Cresol | 異常なし No change | +1.1 | |
| ニトロベンゼン Nitrobenzene | 異常なし No change | +0.8 | |
| JP-4ジェット燃料 JP-4Jet fuel | 異常なし No change | +0.7 | |

7. アウトガス特性 Out gassing

(1) 圧力温度特性 Pressure dependence on temperature

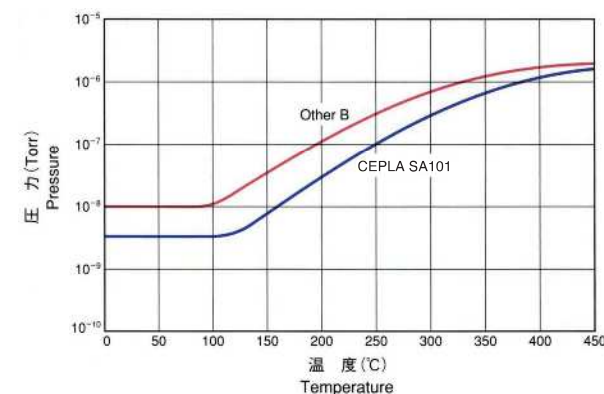


図-9 高精度昇温脱離ガススペクトルによるアウトガスの定量(1)
Fig. 9 Outgass analysis by TDS (1)

(2) 脱ガス量 Quantitative analysis of degassing

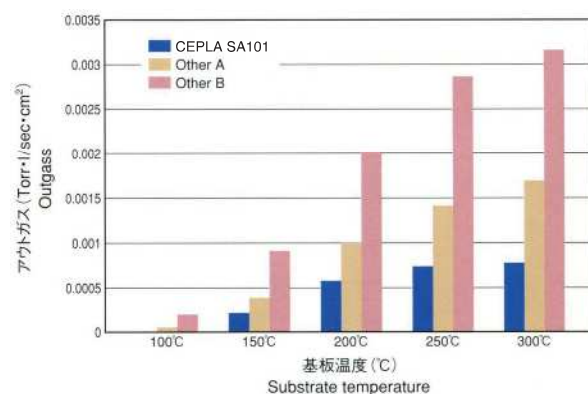


図-10 高精度昇温脱離ガススペクトルによるアウトガスの定量(2)
Fig. 10 Outgass analysis by TDS (2)

8. 吸水性 Water absorption

(1) H₂O放出特性 H₂O desorption property

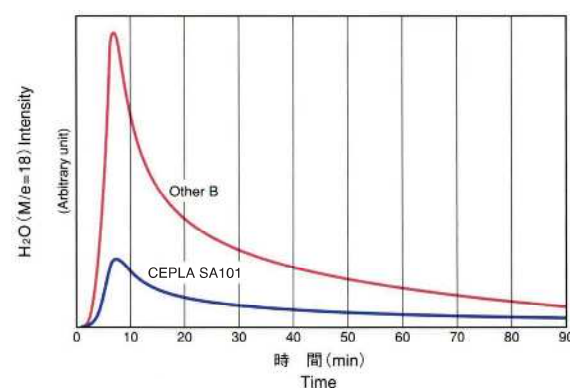


図-11 200°CにおけるH₂Oの放出特性(TDS分析)
Fig. 11 H₂O desorption at 200°C by TDS

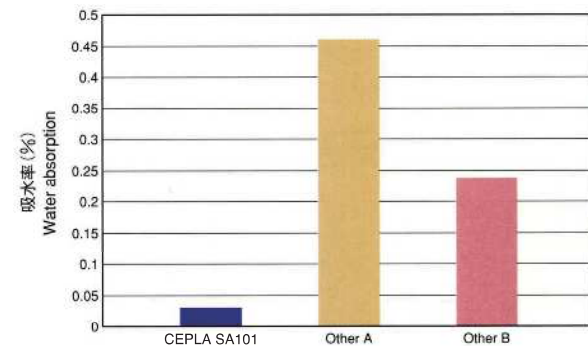


図-12 吸水率比較
Fig. 12 Comparison of water absorption

9. 酸素プラズマ耐性 Durability for oxygen plasma

(1) エッチング速度 Etching rate

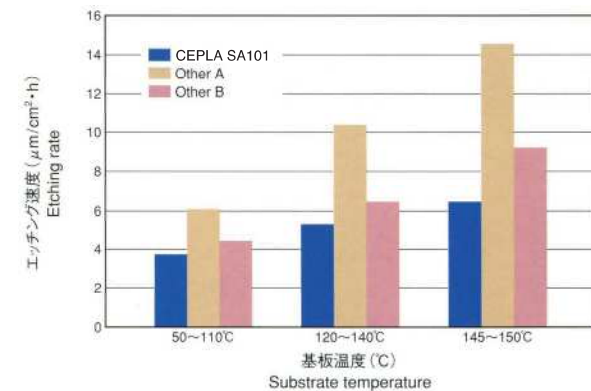


図-13 各温度におけるエッチング速度
Fig. 13 Etching rate at various temperature

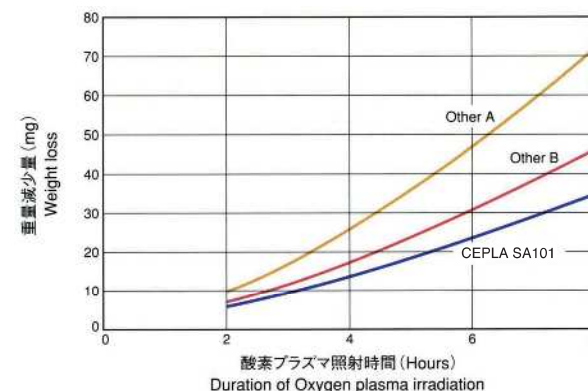


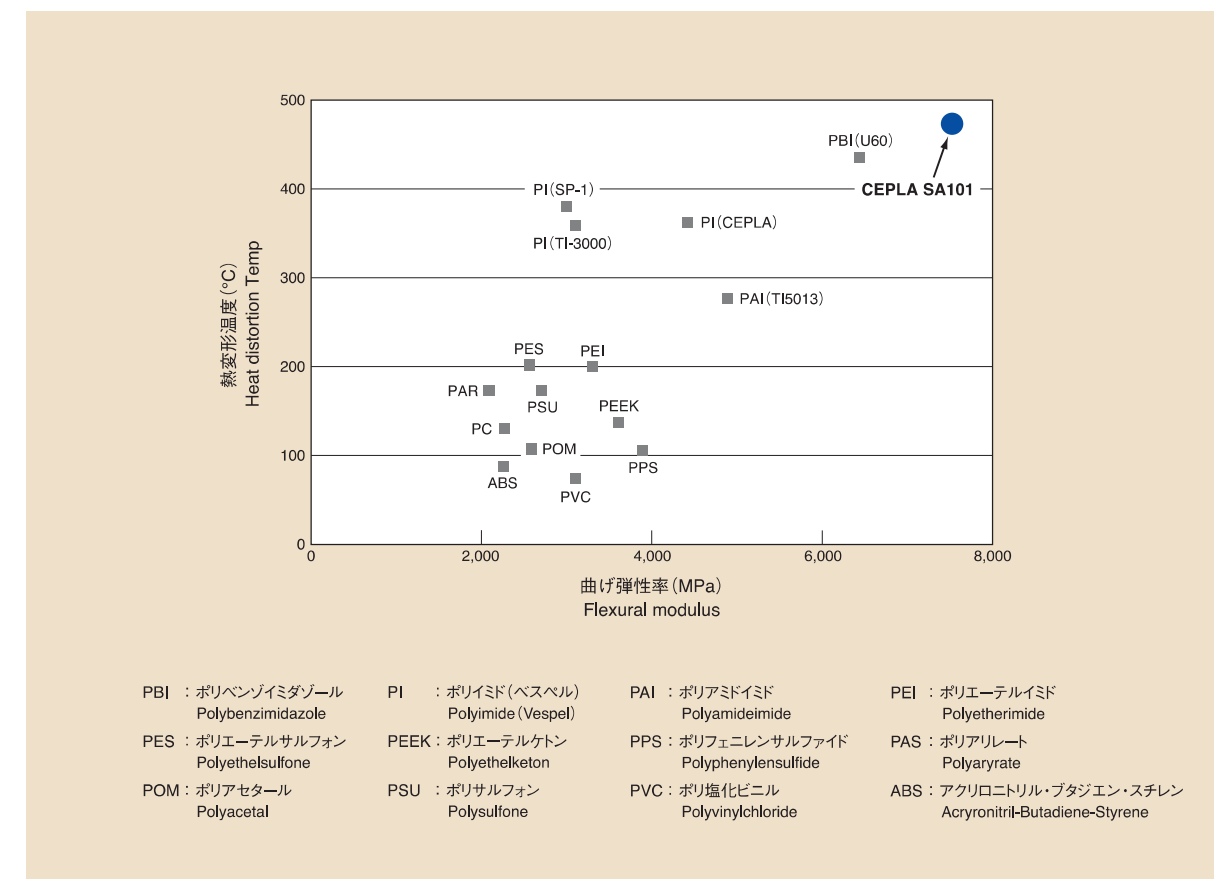
図-14 耐酸素プラズマ性
Fig. 14 Comparison of etching property

製品規格 Standards

| 角板材規格 Square board | |
|--------------------------------|-------------------------|
| 縦(横) Length (Width) (mm) | 板厚 Thickness (mm) |
| 150 | 55 |
| 150 | 40 |
| 150 | 25 |
| 150 | 10 |

| 丸板材規格 Circular board | |
|-----------------------|-------------------------|
| 径 Diameter (mm) | 板厚 Thickness (mm) |
| 150 | 55 |
| 150 | 40 |
| 150 | 25 |
| 150 | 10 |

| 丸棒材規格 Rod | |
|-----------------------|----------------------|
| 径 Diameter (mm) | 長さ Length (mm) |
| 50 | 150 |
| 40 | 150 |
| 30 | 150 |
| 25 | 150 |
| 20 | 150 |
| 15 | 150 |
| 10 | 150 |
| 5 | 150 |



PBI : ポリベンゾイミダゾール Polybenzimidazole
 PI : ポリイミド(ベスペル) Polyimide (Vespel)
 PAI : ポリアミドイミド Polyamideimide
 PEI : ポリエーテルイミド Polyetherimide
 PES : ポリエーテルサルフォン Polyethersulfone
 PEEK : ポリエーテルケトン Polyetherketon
 PPS : ポリフェニレンサルファイド Polyphenylsulfide
 PAS : ポリアリレート Polyarylate
 POM : ポリアセタール Polyacetal
 PSU : ポリサルフォン Polysulfone
 PVC : ポリ塩化ビニル Polyvinylchloride
 ABS : アクリロニトリル・ブタジエン・スチレン Acrylonitril-Butadiene-Styrene

CEPLA® SA201

セプラ® SA201は当社独自のビフェニルテトラカルボン酸二無水物(BPDA)をベースにした超高純度ポリイミド成形体です。

コストパフォーマンスに優れ、より広い用途に適します。

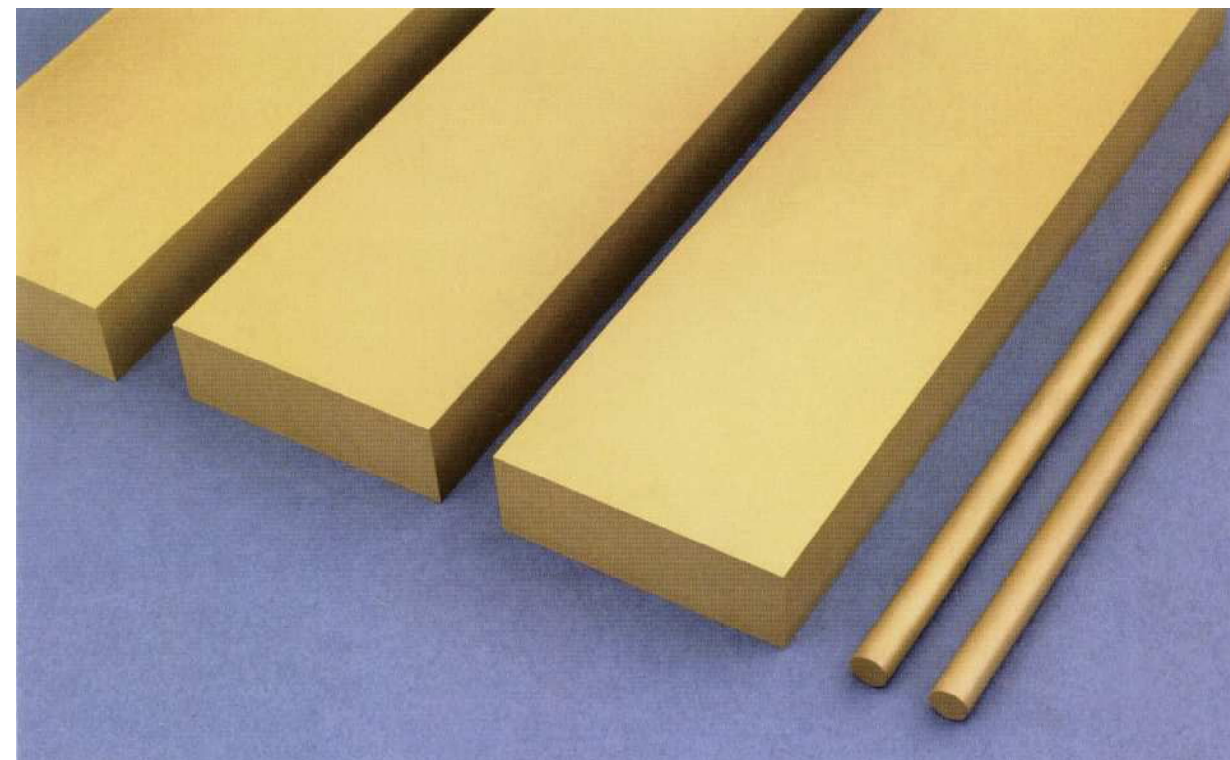
CEPLA® SA201 is an excellent heat-resistant polyimide shape, based on Biphenyl tetracarboxylic dianhydride(BPDA) originally developed CEPLA® SA201 can save your cost, and suit various applications.

用途 Application

- (1) 半導体製造部品 [クランプリング、エッチャー、アッシャー部品等]
Semiconductor production equipment parts
- (2) 液晶パネル製造装置部品 [スパッタ装置部品、ピン、ガイド板、クランプ等]
LCD panel production equipment parts
- (3) 真空装置用部材 [真空ピンセット、コレット、軸受け、ベアリング等]
Vacuum equipment parts
- (4) 精密加工品 [ボルト、ナット、ギヤ等]
Precisely processed parts
- (5) 各種機構部品 [耐熱、耐薬品性ガスケットシール、シールリング、バックアップリング等]
Heat and chemical resistant gaskets and sealing materials

特徴 Features

- (1) 超耐熱性(熱変形温度 486℃ 従来比+100℃以上)
Super high heat resistance (Heat distortion temperature: 486°C)
- (2) 高真空特性
Suitable for high vacuum condition
- (3) 切削加工に優れる
Good processability
- (4) 低不純物濃度
Very low impurities



セプラ® SA201の特性 Properties of CEPLA® SA201

| 項目 Item | 測定方法 Test Method | 単位 Unit | 測定温度 Temperature Measurement | 測定値 Typical Value | |
|--|---------------------|----------------------------|---------------------------------|--------------------------|---|
| | | | | セプラ SA201 CEPLA SA201 | 従来型ポリイミド ^{a)} Conventional Polyimides |
| 引張り強さ Tensile Strength | ASTM D-638 | MPa | 23 | 72 | 72 |
| 伸び Elongation | ASTM D-638 | % | 23 | 4.4 | 7.5 |
| 曲げ強さ Flexural Strength | ASTM D-790 | MPa | 23 | 109 | 83 |
| 曲げ弾性率 Flexural Modulus | ASTM D-790 | Gpa | 23 | 4.3 | 2.5 |
| ロックウェル硬度 Rockwell Hardness | ASTM D-785 | M-スケール M Scale | 23 | 82 | — |
| 比重 Specific Gravity | ASTM D-792 | — | 23 | 1.32~1.34 | 1.43 |
| 絶縁耐力 Breakdown Voltage | ASTM D-149 | kV/mm | 23 | 12.7 | 22 |
| 誘電率(1MHz) Dielectric Constant | ASTM D-150 | — | 23 | 3.51 | 3.64 |
| 誘電正接(1MHz) Dissipation Factor | ASTM D-150 | — | 23 | 0.0031 | 0.0034 |
| 体積固有抵抗 volume Resistivity | ASTM D-257 | Ω·cm | 23 | 7.1×10 ¹⁵ | 10 ¹⁴ ~10 ¹⁵ |
| 表面抵抗率 Surface Resistivity | ASTM D-257 | Ω | 23 | 1.6×10 ¹⁵ | 10 ¹⁵ ~10 ¹⁶ |
| 線膨張係数 Coefficient of Linear Thermal Expansion | ASTM D-233 | ppm/°C | 254~50 | 50 | 54 (23~300°C) |
| 熱変形温度(18.56kg/cm ²) heat Distortion temp. | ASTM D-648 | °C | — | 486 | 360 |
| 真空中ガス放出特性 ^{b)} Vacuum degassing | TDS Analysis | Torr·l/sec·cm ² | 200 | 4.5×10 ⁻⁶ | 2.0×10 ⁻³ |
| | | | 300 | 3.3×10 ⁻⁶ | 3.2×10 ⁻³ |

a) カタログ値、Catalogue value.

b) 当社においてセプラ SA201 と同一条件下に測定した値です。
These values are measured under same condition as CEPLA SA201.

上記数値は測定値であり、保証値ではありません。

H₂O 放出特性 Vacuum degassing

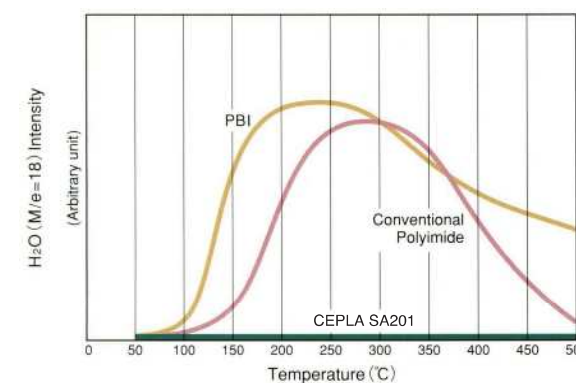


Fig. 1 TDS分析によるH₂Oの放出特性
H₂O desorption analysis by TDS
(TDS: Thermal Desorption Spectroscopy)

1. 測定装置 Measurement Instrument

電子科学株式会社製 高精度昇温脱離ガス分析装置
EMD-WA1000S型
ESCO Co., LTD. Thermal Desorption Spectroscopy Type
EMD-WA1000S

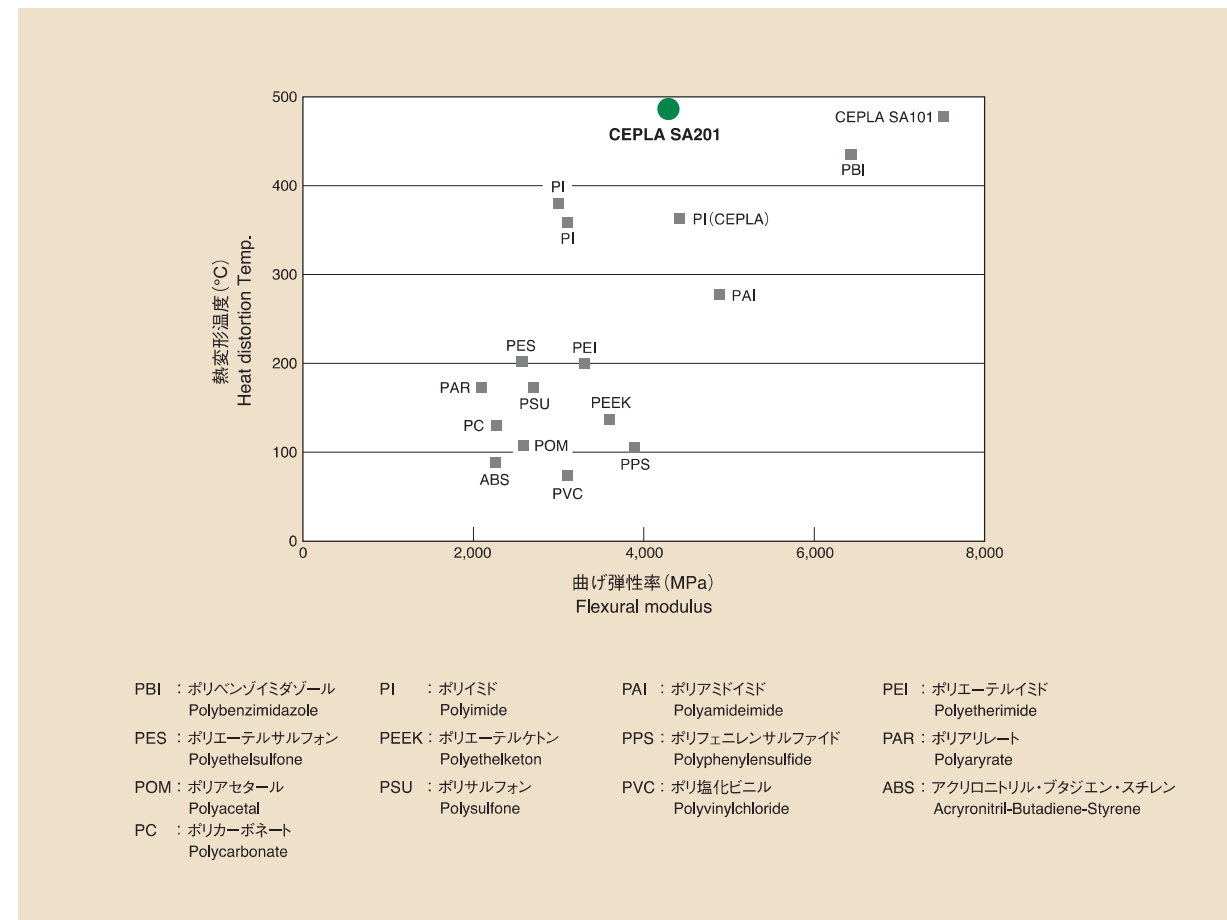
2. 排気条件 Measurement Condition

予備室に試験片を導入後減圧排気し、減圧下のまま分析室に移動した後分析を開始。

Test piece is pretreated in the prechamber under high vacuum condition, and the analysis begins in the main chamber under decompression.

製品規格 Standards

| 角板材規格 Square board | 縦 Length (mm) | 横 Width (mm) | 板厚 Thickness (mm) |
|-----------------------|---------------|--------------|-------------------|
| | 120 | 410 | 40 |
| | 210 | 210 | 40 |



Standard Size
150 × 150 × 40t (mm)
150 × 150 × 55t (mm)



セブラ SA101D 帯電防止グレード
CEPLA SA101D Anti-static grade

セブラ® SA101D 帯電防止グレード CEPLA® SA101D Anti-static grade

| 項目 Item | 単位 Unit | 測定方法 ASTM Test Method ASTM | 測定温度 Temperature Measurement | セブラ SA101D CEPLA SA101D |
|--|------------|-------------------------------|---------------------------------|------------------------------|
| 主成分 Main Ingredient | — | — | — | BPDA系ポリイミド BPDA Polyimide |
| 比重 Specific Gravity | — | D-792 | 23°C | 1.46 |
| 吸水率 Water Absorption | % | D-570 | 23°C | 0.06 (24h) |
| 引張り強さ Tensile Strength | MPa | D-638 | 23°C | 61 |
| | | | 260°C | 43 |
| 引張り伸び Tensile Elongation | % | D-638 | 23°C | 0.65 |
| | | | 260°C | 0.98 |
| 曲げ強さ Flexural Strength | MPa | D-790 | 23°C | 95 |
| | | | 260°C | 49 |
| 曲げ弾性率 Flexural Modulus | GPa | D-790 | 23°C | 6.8 |
| | | | 260°C | 3.6 |
| 圧縮応力 (1% 歪) Compressive Stress (1% distorted) | MPa | D-695 | 23°C | 66 |
| 圧縮弾性率 Compressive Elastic Modulus | GPa | D-695 | 23°C | 6.98 |
| Izod 衝撃強さ (ノッチ付) Izod Impact Strength (Notched) | J/min | D-256 | 23°C | 13.0 |
| ロックウェル硬度 Rockwell Hardness | M-Scale | D-785 | 23°C | 117 |
| 熱変形温度 (18.56kgf/cm ²) heat Distortion temp. | °C | D-648 | — | 470 |
| 線膨張係数 Coefficient of Linear Thermal Expansion | ppm/°C | E-233 | — | 34.2 (25~450°C) |
| 体積固有抵抗 volume Resistivity | Ω·cm | D-257 | 23°C | 1.4×10 ⁹ |
| 表面抵抗 Surface Resistivity | Ω | D-257 | 23°C | 4.5×10 ⁴ |